

ПРИБЛИЖЁННАЯ МЕТОДИКА РАСЧЁТА ПРОГИБОВ ЗАЩЕМЛЕННЫХ ПО КОНТУРУ ЖЕЛЕЗОБЕТОННЫХ ПЛИТ С ТРЕЩИНАМИ

Эльдхайби Мухамед Мустафа (Одесская государственная академия строительства и архитектуры)

В статье рассматривается приближенная методика расчета прогибов защемленных по контуру железобетонных прямоугольных плит с трещинами.

В защемленных по контуру железобетонных плитах трещинообразование, нелинейность деформаций бетона и арматуры приводят к некоторому (до 30%) перераспределению усилий и значительному – в 2-3 раза увеличению прогибов; при длительном действии постоянной нагрузки прогибы увеличиваются, по сравнению с кратковременными в 1,5...3 раза [1], [2], [3], это следует принимать во внимание при проектировании плит.

Предлагаемая приближенная методика оценки предельных длительных прогибов плит основывается на следующих предпосылках. Распределение усилий в железобетонной плите не зависит от физической нелинейности и не отличается от «упругого». Деформирование плиты может быть описано дифференциальным уравнением изогнутой поверхности упругой изотопной пластинки кусочно-постоянной жёсткости.

Жёсткость при кратковременном действии нагрузки вычисляется по формуле [4]:

$$B_0 = F_a E_a h_0 \left(h_0 - \frac{x_0}{3} \right) \eta_0, \quad (1)$$

где $\eta_0 = \frac{1}{\left(1 + \frac{2F_a n_c}{bx_0} \right) \psi_{a0}}$; $x_0 = \xi_0 h_0$

Величина ξ_0 определяется по формуле:

$$\xi_0 = n_c \mu_0 \left(-1 + \sqrt{1 + \frac{2}{n_c \mu_0}} \right) \quad (2)$$

где $n_c = \frac{1}{\psi_{a0}} n_a$; $n_a = \frac{E_a}{E_0}$; $\mu_0 = \frac{F_a}{b h_0}$, (3)

где: F_a - площадь поперечного сечения растянутой арматуры, E_a - модуль упругости арматуры, E_0 - модуль упругости бетона, b - ширина сжатой зоны бетона, h_0 - полезная высота поперечного сечения, x_0 - высота сжатой зоны бетона в сечении с трещиной, ψ_{a0} - коэффициент, учитывающий влияние бетона растянутой зоны на деформации арматуры при кратковременном загружении,

$$\psi_{a0} = 1 - 0,7 \frac{M_{bt}}{M}, \quad (4)$$

где M_{bt} - величина изгибающего момента, вызывающего трещины;

M - максимальный изгибающий момент при кратковременном или длительном действии нагрузки.

Жёсткость при длительном действии нагрузки, в любой момент времени t после загружения, определяется из выражения [4]

$$B(t) = F_a E_a h_0 \left(h_0 - \frac{x_0}{3} \right) \eta_t \quad (5)$$

$$\eta_t = \frac{1}{\left[1 + \frac{2 F_a n_a (1 + \varphi_t)}{b x_0 \psi_{at}} \right] \psi_{at}}, \quad (6)$$

где: ψ_{at} - коэффициент, учитывающий влияние бетона растянутой зоны при длительном действии нагрузки; φ_t - характеристика ползучести бетона, т.е. отношение деформации ползучести к начальной упругой деформации.

Для вычисления минимальной жёсткости, при которой определяется наибольший прогиб, в формуле (6) подставляется предельное значение характеристики ползучести.

Рассмотрим защемленную по контуру круглую плиту, загруженную равномерно распределенной нагрузкой (рис. 1). Предположим, что изгибающие моменты M_r^H таковы что средняя зона плиты, радиусом $r \leq b_0$ и зона на крае плиты, где $r > a - b_1$ - с трещинами.

Жесткость этих зон D_0 и D_1 . Зона плиты на участке $b_0 < r < b_1$ - без трещин; жесткость D . Установим приближенное значение предельного прогиба w_{max} [6]. Общим решением дифференциального уравнения, задачи симметричного изгиба поперечно нагруженной упругой, круглой пластинки постоянной толщины h , в полярных координатах будет

$$w^0 = \frac{qr^4}{64D} + C_3 r^2 + C_4 \quad (7)$$

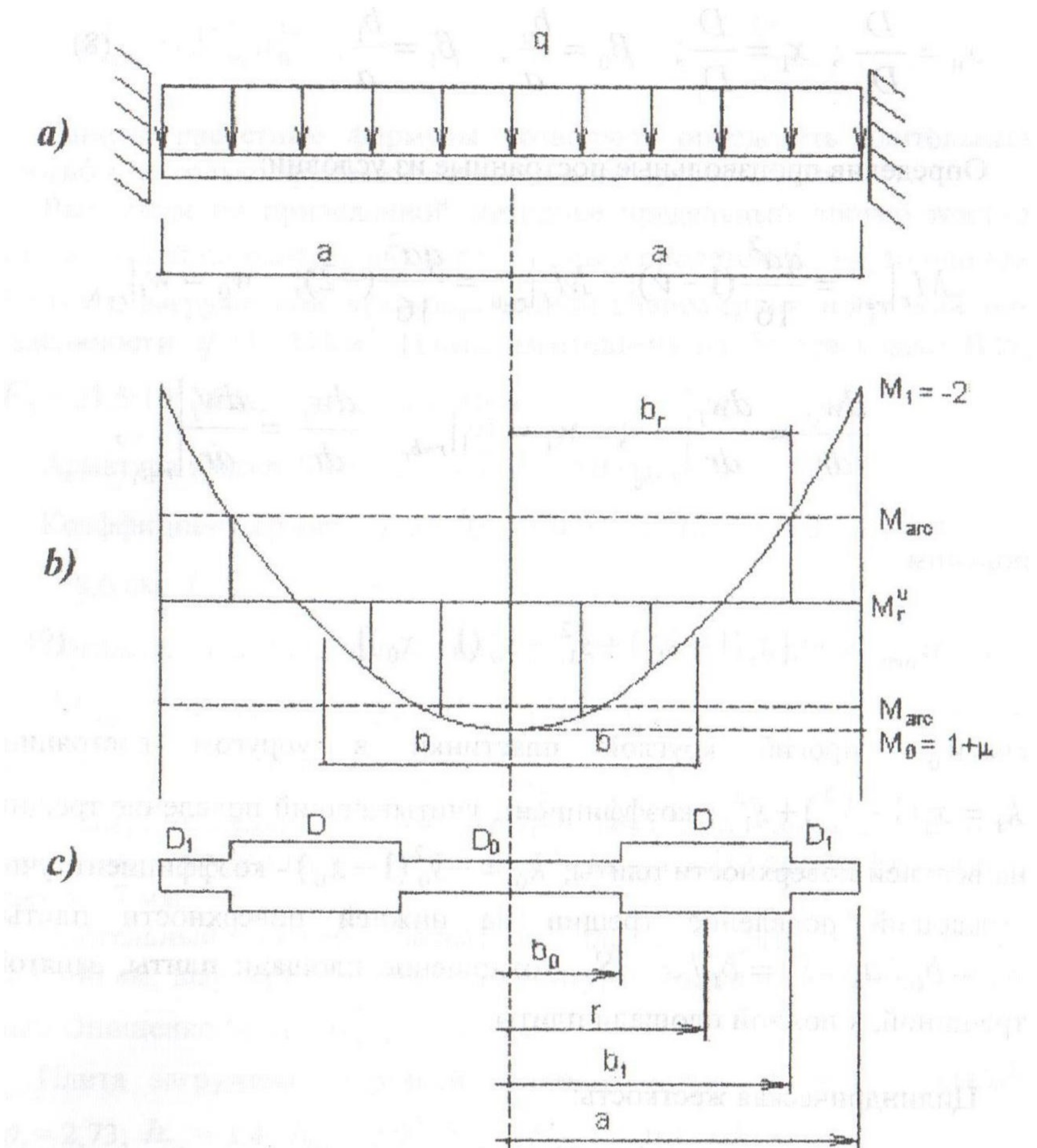


Рис. 1. Круглая плита: а) схема опирания и загружения; в) эпюра изгибающих моментов; с) эпюра жесткостей

Для упрощения работы введем такие обозначения:

$$x_0 = \frac{D}{D_0}; \quad x_1 = \frac{D}{D_1}; \quad \beta_0 = \frac{b_0}{a}; \quad \beta_1 = \frac{b_1}{a}. \quad (8)$$

Определив произвольные постоянные из условий:

$$M_r|_{r=0} = \frac{qa^2}{16}(1-\nu); \quad M_r|_{r=0} = \frac{qa^2}{16}(-2); \quad w_0 = w_i|_{r=b_0}$$

$$\frac{dw_0}{dr} = \frac{dw_i}{dr}|_{r=b_0}; \quad w_i = w_1|_{r=b_1} \quad \frac{dw_i}{dr} = \frac{dw_i}{dr}|_{r=b_1},$$

получим

$$w_{\max} = w_0[x_1(1 - \bar{s}_1^2) + \bar{s}_1^2 - \bar{s}_0^2(1 - x_0)], \quad (9)$$

где: w_0^{el} - прогиб круглой пластинки в упругом состоянии; $k_1 = x_1(1 - \bar{s}_1^2) + \bar{s}_1^2$ - коэффициент, учитывающий появление трещин на верхней поверхности плиты; $k_0 = -\bar{s}_0^2(1 - x_0)$ - коэффициент, учитывающий появление трещин на нижней поверхности плиты; $\bar{s}_0 = b_0/a$; $\bar{s}_1 = b_1/a$. S - отношение площади плиты, занятой трещиной, к полной площади плиты.

Цилиндрическая жесткость:

$$D = \frac{E_b h^3}{12(1-\nu^2)}; \quad (10)$$

$$K_{cr}^* = (1 + 1,5\varphi_t)(k_1 + k_0).$$

Приложите действие (запишите) к изображенному в задаче

Множитель $(1 + 1,5\varphi_t)$ учитывает ползучесть бетона.

$$w_{\max}^* = K_{crc}^* w_0^{el} \quad (11)$$

Данные расчетные формулы позволяют определять длительные прогибы не только круглых плит, но и плит другой формы.

Вычислим по приведенной методике предельный прогиб жестко защемленной по контуру квадратной плиты пролетом $l = 3\text{ м}$; толщиной $h = 10\text{ см}$, загруженной кратковременной равномерной нагрузкой интенсивности $q = 33 \text{ kN/m}^2$. Плита изготовлена из бетона класса В25:

$$E_b = 23,5 \cdot 10^3 \text{ МПа}; R_{bt,ser} = 1,5 \text{ МПа}.$$

$$\text{Арматура класса А-III, } E_a = 2 \cdot 10^5 \text{ МПа.}$$

Коэффициент армирования $\mu_0 = 0,005$ и $\mu_1 = 0,003$. $h_{01} = 8,6 \text{ см}$, $h_{02} = 8,6 \text{ см}$. $D = 2003 \text{ kNm}^2$.

Согласно табл. 13.1 справочника [7], упругий прогиб $w_0^{el} = 1,7 \text{ мм}$.

$$M_{\max} = 5,13 \text{ кНм}; M_{\min} = 10,53 \text{ кНм}; M_{crc} = 3,45 \text{ кНм}; x_1 = 0,234; \\ \bar{s}_0^2 = 0,107; \bar{s}_1^2 = 0,596; x_0 = 2,79; w_{\max} = 5,5 \text{ мм.}$$

Экспериментальный прогиб центров двух плит марки 2Y702, подкрепленных рандбалками, из опытов Х.Амаса и В.Геллера [8] составляет 5...7 мм.

Длительный прогиб квадратной плиты с размером стороны $a = 140 \text{ см}$, шарнирно опертой по контуру, согласно опытным данным Онищенко М.М., $w_{\max}^* = 3,22 \text{ мм}$.

Плита загружена нагрузкой интенсивностью $q = 0,13 \text{ kN/m}^2$. $\varphi_t = 2,73$; $h_{0x} = 3,4$; $h_{0y} = 2,9$; $F_{ax} = F_{ay} = 0,013 \text{ см}^2$.

Бетон класса В30. $E_b = 3,36 \cdot 10^5$. $R_{bt} = 1,8 \text{ МПа}$.

Арматура класса А-III. $E_a = 2 \cdot 10^5 \text{ МПа}$. Коэффициент армирования $\mu = 0,0044$.

$D = 33,474 \text{ kNm}^2$. $w_0^{el} = 0,699 \text{ мм}$. $K_{crc} = 5,43$, $w_{\max}^* = 3,31 \text{ мм}$, погрешность 2,79 %.

Вывод

Как видно из приведенного примера расчета, предлагаемая методика, учитывающая трещинообразование и ползучесть бетона, может применяться для оценки предельных длительных прогибов прямоугольных плит, опертых и защемленных по контуру. Правомочность применения методики для плит другой формы и способов закрепления должна быть проверена дополнительно.

Литература

1. Королев А.Н., Крылов С.М. Способ расчета прогибов железобетонных плит, опертых по контуру, и безбалочных перекрытий при действии кратковременной нагрузки. – Тр. НИИЖБ, вып. 26, 1962, с. 59-119.
2. Карпенко Н.И. Теория деформирования железобетона с трещинами. – М.: Стройиздат, 1976.-208 с.
3. Яременко А.Ф. Известия высших учебных заведений строительства и архитектуры №11-1987
4. Улицкий И. И. Метелюк Н. С. Реминец Г. М. Жесткости изгибаемых железобетонных элементов 1963
5. Прокопович И. Е., Зедгенидзе Е. А. Прикладная теория ползучести. – М.: Стройиздат, 1980.
6. Тимошенко С. П., Войновский – Кригер С. Пластиинки и оболочки. – М.: Физматгиз, 1963.
7. Справочник проектировщика промышленных, общественных зданий и сооружений. Расчетно-теоретический. I, II. Под ред. проф. А.А.Уманского. – М., 1973. – 415 с.
8. Gehler W., Amos H. Versuchsmit Kreisweise bewehrten Platten. Heft. 70. Berlin (1932).